

ПРЕДВАРИТЕЛЬНЫЙ ВАРИАНТ НЕТРАДИЦИОННОЙ НОРМАЛЬНОЙ ЗЕМЛИ

Как известно, повышение точности наблюдений, выполняемых в настоящее время для целей геодезии, совершенствование методик их обработки и повышение требований со стороны смежных наук заострили актуальность построения Нормальной Земли (НЗ). Не останавливаясь на истории вопроса и ряде новых предложений, обсужденных в статье [8], отметим, что в [7, 8] предложено использовать поверхность общеземного сфероида. Нормальная Земля (СНЗ) позволяет уменьшить возмущающий потенциал и дать четкое определение как аномалий силы тяжести, так и аномалий плотности земных недр («плотностных неоднородностей»). Аппроксимация СНЗ эллипсоидом вращения приводит к Эллипсоидальному Нормальному Земле (ЭНЗ). Такой эллипсoid неуровненный. Обе Нормальные Земли (СНЗ и ЭНЗ) взаимосвязаны: они развиваются во внешнем пространстве одно и то же нормальное поле, тождественное гравитационному полю гидростатически равновесной планеты. Если же рассмотреть эллипсoid, аппроксимирующий геоид, и присвоить такому эллипсoidу постоянное значение потенциала, равное среднему значению геопотенциала на геоиде, то получим традиционную НЗ. Таким образом, численные методики построения как последней, так и ЭНЗ, единны, а предпосылки их различны: в первом случае под исходной обобщенной поверхностью Земли понимается геоид, во втором случае — сфероид.

В настоящей статье на основании [8] дан предварительный вариант построения нетрадиционной НЗ.

В качестве исходной информации возьмем следующие значения нужных параметров:

$$a_e = 6378138,0 \text{ м}, \alpha = 1 : 298,257,$$

(первые три из них использовали при выводе модели гравитационного поля Земли GEM-10C [10]) и набор четных зональных стоковых постоянных $I_{2n} = -C_{2n,0}$ этой модели ($n \leq 90$).

Для построения поверхности СНЗ, кроме вышеприведенных данных, необходимо еще задать значение потенциала U_0 на этой ферентной системе 1980 г.) [11]:

$$U_0 = 62636860,85 \text{ м}^2 \cdot \text{с}^{-2}.$$

Поверхность СНЗ в первом приближении вычислим методом итераций [3, 6] по формуле

$$\frac{fM}{r} \left[1 + \sum_{k=1}^N \left(\frac{a_e}{r} \right)^{2k} C_{2k,0} P_{2k}(\cos \vartheta) \right] + \frac{\omega^2 r^2}{3} [1 - P_2(\cos \vartheta)] = U_0, \quad (2)$$

в настоящем время для целей геодезии, совершившееся методик их обработки и повышение требований со стороны смежных наук заострили актуальность построения Нормальной Земли (НЗ). Не останавливаясь на истории вопроса и ряде новых предложений, обсужденных в статье [8], отметим, что в [7, 8] предложено использовать поверхность общеземного сфероида. Нормальная Земля (СНЗ) позволяет уменьшить возмущающий

где $r = F(\vartheta)$ — искомый радиус-вектор сфероида; ϑ — полярное расстояние; P_{2k} — символ полиномов Лежандра. Значения радиус-вектора r СНЗ определяем в точках дуги меридиана через 1° широты. Не приводя результатов счета, отметим, что экваториальный радиус сфероида составляет

$$r \Big|_{\vartheta=\frac{\pi}{2}} = a_{\text{ср}} = 6378135,6 \text{ м}. \quad (2)$$

Затем поверхность этого сфероида аппроксимируем эллипсoidом, наилучшим образом в смысле метода наименьших квадратов подходящим полученному сфероиду. Радиус-вектор эллипса выражается известной формулой

$$r = \sqrt{\cos^2 \vartheta + (1 - \alpha^2) \sin^2 \vartheta}. \quad (3)$$

В нашем случае искомыми являются параметры эллипса a и α . Составим согласно [2] уравнения погрешностей вида

$$-N(1 - e^2 \cos^2 \vartheta) \delta a + M(1 - e^2 \cos^2 \vartheta) \cos^2 \vartheta \delta \alpha + z = \xi. \quad (4)$$

Здесь величины $e^2 = \alpha^2 - 2\alpha$, M и N берут для исходного эллипса (1), свободные члены

$$z = r_i - r_{i2}^0, \quad (5)$$

где r_i^0 — радиус-вектор исходного эллипса; r_i — радиус-вектор аппроксимируемого сфероида; δa и $\delta \alpha$ — искомые поправки соответственно в большую полуось и сжатие эллипса (1), необходимые для получения параметров эллипса, аппроксимирующего сфероид (в данном случае сфероид первого приближения).

Такие уравнения составлялись для точек меридиана $0 \leq \vartheta \leq \pi/2$ через 1° . Полученная система из 91 уравнения погрешностей решена по методу наименьших квадратов:

$$[\xi \xi] = \text{таб.} \quad (6)$$

В результате уравнения были получены большая полуось и сжатие ЭНЗ первого приближения:

$$a_e = 6378137,0 \text{ м}, \alpha = 1 : 298,207. \quad (7)$$

Следующий этап вычислений заключается в определении внешнего потенциала СНЗ. Так как поверхность СНЗ уравненная, то достаточно найти потенциал в какой-либо одной ее точке, например на экваторе, т. е. при $\vartheta = \pi/2$:

$$U_0^{\text{ср}} = \frac{fM}{a_{\text{ср}}} \left[1 - \sum_{n=1}^N \left(\frac{a_e}{a_{\text{ср}}} \right)^{2n} I_{2n} P_{2n}(0) \right] + \frac{\omega^2 a_{\text{ср}}^2}{2}, \quad (8)$$

что дает

$$U^{\text{ср}} = 62636860,87 \text{ м}^2 \cdot \text{с}^{-2}.$$

Полученное значение U_0 практически не отличается от заданного согласно GRS-80.

Со значением $U_0^{(36)}$ просчитано второе приближение в определении НЗ, которое выполнено аналогично первому. Найденные поверхности сфероида и аппроксимирующего его эллипсоида во втором приближении в пределах точности вычислений полностью совпадают с поверхностями первого приближения.

Совпадение двух выполненных приближений свидетельствует о том, что полученные здесь параметры СН3 и ЭН3 согласованы с принятой исходной информацией и полностью ей соответствуют.

Таким образом, СН3 180-го порядка характеризуется следующими параметрами:

$$a_{\text{сф}}^{(180)} = 6378135,6 \text{ м}, \quad a_{\text{сф}}^{(180)} = 1:298,174,$$

$$U_0^{(180)} = 62636860,87 \text{ м}^2 \cdot \text{с}^{-2}, \quad (9)$$

а параметры аппроксимирующей ее ЭН3, т. е. эллипсоида, суть (7).

Получена также СН3 (и соответствующая ей ЭН3) 36-го порядка в двух вариантах при различной исходной информации.

В первом случае использованы параметры эллипсоида, соответствующие модели гравитационного поля Земли GEM-10B [10], и четные зональные коэффициенты $J_{2n} = -C_{2n,0}$ этой модели ($n \leq 18$). Окончательные значения экваториальных радиусов и сжатия сфероида и эллипсоида были получены из третьего приближения:

$$\begin{aligned} a_e^{(36)} &= 6378137,0 \text{ м}, \quad a_e^{(36)} = 1:298,208, \quad a_{\text{сф}}^{(36)} = 6378135,7 \text{ м}, \\ a_{\text{сф}}^{(36)} &= 1:298,185, \quad U_0^{(36)} = 62636860,85 \text{ м}^2 \cdot \text{с}^{-2}. \end{aligned} \quad (10)$$

При сравнении моделей НЗ различных порядков, а именно, 180-го, т. е. (9) и (7), и модели 36-го порядка, т. е. (10), следует иметь в виду, что они построены по одному и тому же исходному эллипсоиду с параметрами (1) и практически по одному и тому же набору зональных гармоник с различным числом усечения их (как известно, модель GEM-10B как модель геопотенциала 36-го порядка включена в модель 180-го порядка GEM-10C).

Таким образом, для подтверждения полученных суждений о нашей исходной информации. За таковую во втором случае была принята модель гравитационного поля Земли GRIM-3 В [13] с набором стоковых постоянных до 36-го порядка, использованный при ее построении эллипсоид с параметрами

$$a_e = 6378140 \text{ м}, \quad a = 298,257, \quad fM = 398600,5 \text{ км}^3 \text{ с}^{-2}, \quad (11)$$

и U_0 в соответствии с GRS-80.

При таких исходных данных по вышеописанной методике была получена (также из трех итераций) следующая модель СН3 и ЭН3:

$$\begin{aligned} a_e^{(36)} &= 6378137,9 \text{ м}, \quad a_e^{(36)} = 298,210, \quad a_{\text{сф}}^{(36)} = 6378136,7 \text{ м}, \\ a_{\text{сф}}^{(36)} &= 298,192, \quad U_0^{(36)} = 62636860,85 \text{ м}^2 \cdot \text{с}^{-2}. \end{aligned} \quad (12)$$

Расхождения между тремя полученными моделями НЗ вполне естественны: они обусловлены различиями в численных значениях используемых при их построении параметров и разным усечением комплектов учитываемых четных зональных стоковых постоянных планеты.

Наиболее отчетливо проявляется влияние масштабного фактора построения: расхождения в значениях больших полуосей исходных эллипсоидов модели GEM-10B ($a_e = 6378138$ м) и модели GRIM-3 В ($a_e = 6378140$ м) привело к расхождениям значений больших полуосей сфероидов и соответствующих им эллипсоидов в 1 м, что полностью присуще неопределенности установления большой полуоси земного эллипса при независимых выводах ее определения разными методами [9].

Безусловно, из трех полученных здесь моделей СН3 наиболее представительным представляется данный в начале статьи предварительный вариант 180-го порядка, однако, приступая к общей его характеристике, необходимо отметить следующее.

Полученные выше в рамках построения СН3 три варианта ЭН3 не являются вариантами нормального эллипса в общепринятом его понимании и приведенные выше их параметры (7), (9), (10), (12) не уточняют размеры и формы общеземного эллипса.

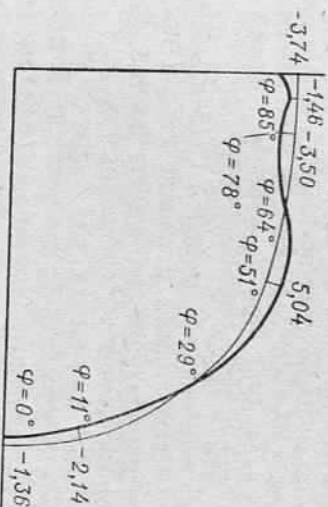
Дело в том, что последний обычно рассматривается как эллипсoid, наилучшим образом в смысле принципа наименьших квадратов аппроксимирующий *geoid*, а введенные здесь эллипсоиды в том же смысле наилучшим образом аппроксимируют *spheroid*. При выводе с указанных позиций общеземного эллипсаoidа даже по разным моделям гравитационного поля при учете всех его гармоник, т. е. зональных и тессеральных, устойчиво находятся [4, 5] значения его параметров, отличающиеся рекомендациями GRS-80. А параметры найденных здесь эллипсоидов получены при учете только четных зональных гармоник гравитационного поля, за счет чего они характеризуют, скажем, «гидростатический» эллипсoid, т. е. аппроксимацию сфероида как главную часть Земли в целом, а значит, и общеземного эллипсаoidа.

Переходя к характеристике СН3 180-го порядка, сравним сначала поверхность сфероида с аппроксимирующим его эллипсоидом (см. рисунок).

На рисунке отчетливо прослеживается волнообразный вид сфероида в широтном направлении. Область возвышения его над эллипсоидом простирется от $\varphi = 29^\circ$ до $\varphi = 64^\circ$, причем максимальное поднятие (5,04 м) приходится на широту $\varphi = 51^\circ$. В остальных широтных зонах $0^\circ < \varphi < 29^\circ$ и $64^\circ < \varphi < 90^\circ$ сфероид расположен также волнообразно, но с меньшими амплитудами, под эллипсоидом. Наименьшее понижение (-3,74 м) наблюдается на полюсах.

Так как при выводе сфероида учтены только четные зональные гармоники, то он описывает гидростатически равновесную Землю в целом. Его поверхность — эквипотенциальная поверхность, отвечающая именно гидростатически равновесной планете.

Известно, что из сравнения результатов обработки альтиметрических данных по Seasat и Geos-3 Р. Рапп [12] получил «улучшенное» (improved) значение экваториального радиуса $a = 6378135.6$ м. Мы берем на себя смелость сказать, что полученное им численное значение a можно строго трактовать экваториальным радиусом гидростатически равновесной Земли (общеземного сфероида), а не просто Земли или, тем более, какого-либо аппроксимирующего эллипса.



Схематическое расположение сфероида (CH3) относительно аппроксимирующего его эллипса (ЭНЗ).

- соцда по спутниковой информации с использованием метода L_p -оценок. — На-
блодения ИСЗ, № 21 (1982). — М., 1984, с. 138—144. 6. Мещеряков Г. А. Об-
пределение физической поверхности Земли с использованием параметров геопо-
теплицы (1982). — М., 1984, с. 131—137. 7. Мещеряков Г. А. Представления по-
гравитирующих дисков: Тез. докл. Всесоюз. конф. «Исследование гравитацион-
ного поля и природных ресурсов Земли космическими средствами». — Львов.
1984, с. 8—9. 8. Мещеряков Г. А. Нормальной Земли. — Геодезия, карто-
графия и аэрофотосъемка, 1986, вып. 43, с. 64—71. 9. Anderle R. J. Accuracy
of Mean Earth Ellipsoid Based on Doppler, Laser and Altimeter Observations —
Bulletin géodésique. — Bureau Central de l'IGC, 1980, v. 54, № 4, p. 521—527.
10. Letch F. J., Putney B. H., Wagner C. A., Klosko S. M. Goodard Earth Models
for Oceanographic Applications (GEM-10B and 10C). Presented at the Marine
Geodesy Symposium, — Miami, 1980, p. 18—20. 11. Morris H. Geodetic Reference
System 19-80-in the Geodesist's Handbook 1980. — Bulletin Géodésique, 1980,
v. 54, № 3, p. 395—405. 12. Rapp R. H. A Summary of the Results from the
OSU Analysis of Seasat Altimeter Data. — Reports of the Department of Geodetic
Science and Surveying. — Columbus: The Ohio State University, 1982, № 335,
p. 19. 13. Reigler C. H., Müller H., Rizos Ch., Bosch W., Balmino G., Moyer B.
AN Improved GRIM-3 Earth Gravity Model (GRIM-3B). — Proceedings of the
IAG Symposia, 1983, v. 1, p. 388—415.

Статья поступила в редакцию 26.04.85

УДК 593.16

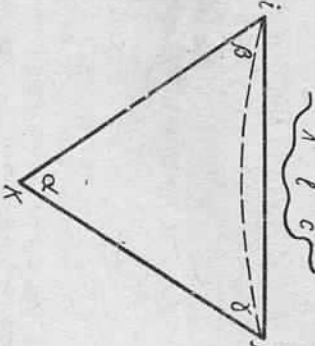
Ю. В. МОРКОТУН

О КОРРЕЛЯЦИОННЫХ ЗАВИСИМОСТЯХ В ТРИАНГУЛЯЦИИ

В статье предпринята попытка изучить корреляционную зависимость взаимообратных направлений в триангуляции, а также углов, имеющих общие взаимообратные направления.

Значения взаимообратных направлений соседних пунктов триангуляции ($i\bar{j}$ и $j\bar{i}$, $i\bar{k}$ и $k\bar{i}$, $j\bar{k}$ и $k\bar{j}$) не будут статистически независимыми. Этот эллипсоид незначительно (причем только сжатием) отличается от нормального эллипса GRS-80, и в силу соображений [8] он более приемлем для геофизики.

1. Ефимов А. Б., Трибцик В. П. Гравитационные аномалии и равновесная фигура Земли. — В кн.: Научение Земли как планеты методами астрономии, высшей геодезии. — М.: Наук. думка, 1982, с. 7—11. 2. Закатов П. С. Курс вычислений метода итераций при определении обобщенных фигур планет. — В кн.: Proc. Int. Symp. "Figure of the Earth, the Moon and Other Planets", Monograph Series of VUGTK, Prague, 1983, с. 143—151. 4. Мещеряков Г. А., Волжанин С. Д. Использование метода L_p -оценок при определении параметров общеземного эллипсоида. — Геодезия, картография и аэрофотосъемка, 1983, вып. 38, с. 76—81. 5. Мещеряков Г. А., Волжанин С. Д. О выводе параметров общеземного эллипса.



- Научение Земли как планеты методами астрономии, высшей геодезии. — М.: Наук. думка, 1982, с. 7—11. 2. Закатов П. С. Курс вычислений метода итераций при определении обобщенных фигур планет. — В кн.: Proc. Int. Symp. "Figure of the Earth, the Moon and Other Planets", Monograph Series of VUGTK, Prague, 1983, с. 143—151. 4. Мещеряков Г. А., Волжанин С. Д. Использование метода L_p -оценок при определении параметров общеземного эллипсоида. — Геодезия, картография и аэрофотосъемка, 1983, вып. 38, с. 76—81. 5. Мещеряков Г. А., Волжанин С. Д. О выводе параметров общеземного эллипса.